

ГЕОФИЗИЧЕСКИЕ МЕТОДЫ ПОИСКОВ И РАЗВЕДКИ

УДК 550.837

В.А. КУЛИКОВ, П.Ю. ПУШКАРЕВ, А.Г. ЯКОВЛЕВ, А.Д. ЯКОВЛЕВ

ОПЫТ ЧАСТОТНЫХ ЭЛЕКТРОМАГНИТНЫХ ЗОНДИРОВАНИЙ НА РУССКОЙ ПЛИТЕ

Рассмотрены результаты работ методом частотных зондирований (ЧЗ) в трех районах Русской плиты. Совместная интерпретация кривых, полученных по разным компонентам поля, дала информацию как о проводящих слоях, так и о высокомомных экранах. Математическое моделирование ЧЗ в горизонтально-неоднородных средах показало, что вопрос о точке записи можно решить, применяя импедансные измерения. При наличии в осадочном чехле высокомомных экранов целесообразно в качестве источника использовать вертикальный магнитный диполь. Если высокомомные экраны отсутствуют, импедансные измерения эффективнее проводить в поле горизонтального электрического диполя.

При изучении осадочного чехла платформ широко используются магнитотеллурические зондирования (МТЗ) и зондирования становлением поля в ближней зоне (ЗСБ). Метод частотных зондирований (ЧЗ), хотя обладает очевидными преимуществами с точки зрения помехоустойчивости, применяется значительно реже, поскольку не решены некоторые принципиальные вопросы интерпретации данных этого метода.

Одномерная теория ЧЗ достаточно развита [2]. В ее рамках авторами создана программа решения прямой и обратной задач, позволяющая быстро рассчитывать теоретические и интерпретировать полевые кривые для любых установок в широком диапазоне частот и разносов [8].

Значительно слабее разработаны вопросы, связанные с применением ЧЗ в реальных трехмерных средах. Основной из них — выбор точки записи, т.е. точки, к которой относятся результаты одномерной интерпретации данной кривой [1, 4, 6, 7]. Дело в том, что частотные зондирования выполняются в дальней зоне (разнос между источником и приемником, как правило, составляет от 5 до 15 км). При региональных исследованиях и в условиях плавного изменения разреза можно использовать осредненные кривые для двусторонних или встречных установок [1, 4]. Такие кривые характеризуют область, горизонтальные размеры которой сопоставимы с расстоянием между источником и приемником. Данный подход применен авторами в трех районах Русской плиты (юго-восток Рязано-Саратовского прогиба, Токмовский свод, юго-запад Московской синеклизы).

При существенных горизонтальных изменениях геоэлектрического разреза, а также при детальных исследованиях, произвол в выборе точки

записи порождает грубые ошибки в результатах интерпретации. Избежать этого поможет применение импедансных измерений [6, 7]. Для изучения возможностей импедансных ЧЗ авторами выполнено математическое моделирование в горизонтально-неоднородных средах. Получены полевые импедансные кривые для горизонтального электрического и вертикального магнитного диполей.

Методика полевых работ. Для создания переменного электромагнитного поля применялась генераторная группа УГЭ-50, способная возбуждать в земле стабилизованный ток силой до 100 А. Ток подавался либо в заземленную линию AB длиной около 1 км, либо в незаземленную петлю Q размером 600×600 м. Измерения производились как с помощью портативных измерителей ЭИН-204, так и многоканальной цифровой станции ЦЭС-М. Использовалась экваториальная установка, причем измерялись три компоненты поля — горизонтальная электрическая E_x , горизонтальная магнитная H_y и вертикальная магнитная H_z (ось x направлена вдоль питающего диполя). Датчиками служили соответственно приемные линии длиной 50—500 м, индукционные датчики и многовитковые петли размером 100×100 м. Частота сигнала, имеющего форму меандра, менялась в геометрической прогрессии от 0,019 до 312 Гц с шагом, равным 2. Регистрировалась амплитуда сигнала на первой, третьей и пятой гармониках, что позволило увеличить число точек на кривой и расширить частотный диапазон. Компоненты H_z , H_y , E_x измерялись устойчиво в диапазоне разносов соответственно до 10, 18 и 25 км.

Метод ЧЗ применяли в комплексе с МТЗ и ЗСБ. С помощью ЗСБ в основном изучена верхняя часть разреза. Метод МТЗ позволил получить информацию о нижних горизонтах чехла, фундаменте и земной коре. Между данными ЗСБ и МТЗ был разрыв, охватывающий среднюю часть осадочного чехла, который удалось заполнить с помощью метода ЧЗ.

Рассмотрим примеры практического применения частотных зондирований на территории Русской плиты.

Юго-восток Рязано-Саратовского прогиба характеризуется выдержаным по горизонтали разрезом. Это позволило применять одиночные зондирования и относить точку записи к середине установки. В осадочном чехле отсутствуют высокоомные экраны [5], поэтому кривые по горизонтальной электрической компоненте $\rho_\omega(E_x)$ и по вертикальной магнитной компоненте $\rho_\omega(H_z)$ имеют схожую форму (рис. 1, A) и отражают разрез до кристаллического фундамента.

Геоэлектрический разрез, полученный в результате интерпретации материалов по району (модель 1), приведен в таблице. Первый слой — терригенный комплекс J_2 , второй — глины и известняки C_2 , третий — аргиллиты с прослоями песчаников C_2 . Ниже залегают известняки C_1-C_2 , глины C_1 , известняки с прослоями аргиллитов D_3-C_1 и терригенно-карбонатная толща D_2-D_3 . В основании разреза находится высокоомный фундамент. Результаты интерпретации данных ЧЗ хорошо согласуются с априорной геолого-геофизической информацией.

В районе Токмовского свода комплексом методов ЗСБ, ЧЗ, МТЗ отработан профиль общей протяженностью 100 км от г. Лада до г. Алатырь (республика Мордовия).

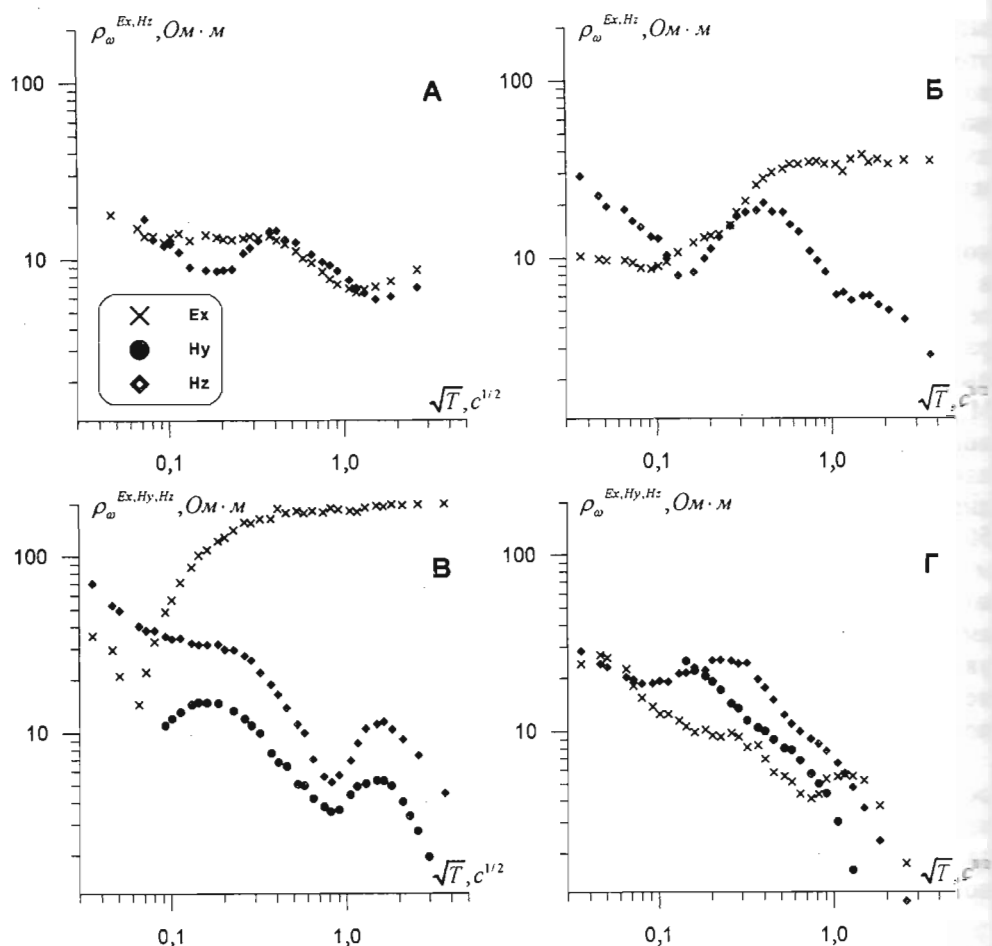


Рис. 1. Полевые кривые ЧЗ: А — Рязано-Саратовский прогиб, источник АВ, разнос 9400 м; Б — Токмовский свод, источник АВ, разнос 6000 м; В, Г — юго-западная часть Московской синеклизы: В — источник АВ, разнос 7640 м; Г — источник Q, разнос 3660 м

Кривые ЧЗ медленно меняются по профилю. Типичные кривые представлены на рис. 1, Б. Двусторонние кривые, полученные от одного АВ, либо совпали, либо оказались близки по форме. Поэтому в дальнейшем использовали осредненные двусторонние кривые, причем точка записи относилась к источнику. Обобщенная модель разреза, построенного в результате интерпретации кривых, приведена в таблице. Невязка полевых и расчетных кривых составила менее 5 %.

Первый слой разреза (модель 2) представлен преимущественно песчаными, а второй — главным образом глинистыми отложениями мезозоя. Ниже находятся карбонатная толща С—D₃ и терригенные породы верхнего девона. В основании разреза залегает высокоомный фундамент. Геоэлектрический разрез, полученный по результатам ЧЗ, хорошо согласуется с данными других методов. При совместной интерпретации результатов методов ЗСБ, ЧЗ и МТЗ удалось построить общий разрез по всему профилю. Небольшой объем работ, выполненных методом ЧЗ, позволил получить информацию об участках, расположенных вблизи населенных пунктов, где качество кривых МТЗ невысоко из-за промышленных помех. Кроме того, по

Геоэлектрические разрезы в пределах Русской плиты

Район	Номер слоя	ρ	h
Юго-восточная часть Рязано-Саратовского прогиба	1	20	100
	2	9	260
	3	15	240
	4	30	230
	5	1	160
	6	60	270
	7	10	1000
	8	1000	
Токмовский свод	1	23	100
	2	4,5	90
	3	450	720
	4	0,9	400
	5	1000	
Юго-западная часть Московской синеклизы	1	30	100
	2	25000	100
	3	10	100
	4	5000	250
	5	2,5	500
	6	1000	

П р и м е ч а н и е. Удельное сопротивление ρ в Ом · м, мощность h — в метрах

результатам интерпретации ЧЗ определено поперечное сопротивление экрана, что важно при оценке разрешающей способности кривых МТЗ по отношению к параметрам подэкранный толши.

В юго-западной части Московской синеклизы выполнено около 150 точек частотных зондирований. В качестве источников поля поочередно использовали 9 заземленных линий АВ и одну незаземленную петлю Q . На рис. 1, В, Г показаны типичные кривые ЧЗ, полученные с использованием различных установок.

Верхняя часть разреза неоднородна по горизонтали. Четвертичные и каменноугольные отложения изрезаны современными и древними речными долинами, поэтому от точки к точке кривые сильно меняются и многие из них заметно искажены. В связи с этим для интерпретации использованы осредненные встречные кривые с предварительной отбраковкой заведомо искаженных. Подобный подход возможен при региональных исследованиях, в задачу которых входит изучение фонового разреза, но не пригоден для детального изучения строения района.

В результате интерпретации построен сводный геоэлектрический разрез (модель 3) для района (таблица). Первый слой представлен четвертичными моренными образованиями, известково-глинистыми и песчаными отложениями C_1 . Второй слой сложен преимущественно карбонатными породами верхнего девона с прослойями гипсов, обладающих очень высокими сопротивлениями. Ниже по разрезу залегают глины D_3 . Четвертый слой

образован плотными известняками D_3 с прослойми гипсов. На фундаменте залегают терригенные отложения D_2 — в основном пески и песчаники, насыщенные высокоминерализованными (до 200 г/л) водами.

Анализ одномерных моделей. Расчет кривых ЧЗ для одномерных моделей позволил определить возможности и ограничения разных модификаций частотных зондирований.

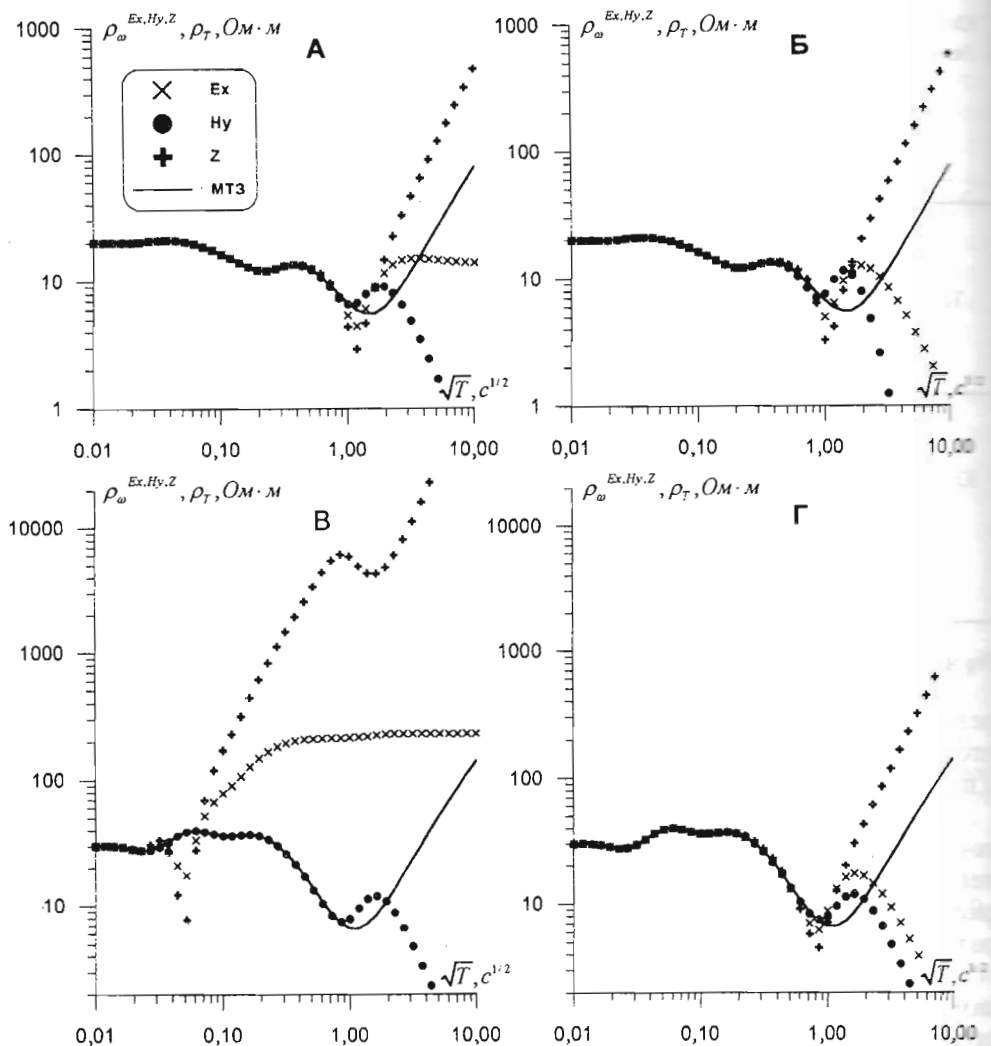


Рис. 2. Результаты расчета прямой одномерной задачи (разнос 6000 м): А — модель 1, источник АВ; Б — модель 1, источник Q; В — модель 3, источник АВ; Г — модель 3, источник Q

Как и следовало ожидать, для разрезов, содержащих высокоомный экран с суммарным поперечным сопротивлением 1 млн Ом · м² и более (модель 3 — рис. 2, В, Г), кривые $\rho_\omega(E_x)$ при возбуждении электрическим диполем не несут достаточной информации о заэкранированной толще, но позволяют определить глубину кровли и поперечное сопротивление экрана. Чтобы кривые $\rho_\omega(E_x)$ «почувствовали» подэкранную толщу, необходимо использовать столь большие разносы, что уровня сигнала не хватит для

получения удовлетворительной точности даже с использованием станции ЦЭС-М в качестве измерителя. В то же время кривые по магнитным компонентам поля электрического диполя, а также по всем компонентам поля магнитного диполя, напротив, не «чувствуют» сопротивление маломощного экрана, но позволяют изучать нижележащие слои.

Расчеты подтверждают целесообразность измерения горизонтальной компоненты магнитного поля, возможность использования которой рассмотрена в [6]. Эта компонента ранее считалась малоинформационной, так как пропорциональна не сопротивлению среды, а лишь корню из него. Однако при расчете кривых кажущегося сопротивления компонента H_y возводится в квадрат, поэтому кривые $\rho_\omega(H_y)$ при высокоточных измерениях сопоставимы по информативности с кривыми $\rho_\omega(H_z)$. Применение станции ЦЭС-М позволяет с помощью индукционных датчиков измерять горизонтальную составляющую магнитного поля с необходимой точностью. Компонента H_y убывает с расстоянием на порядок медленнее компоненты H_z . Следовательно, ее можно регистрировать на больших разносах, повышая таким образом, глубинность исследований. Кроме того, измерив компоненту H_y , можно перейти к импедансу $Z = E_x/H_y$.

Как видно из рис. 2, A, B, наиболее благоприятна для применения импедансных ЧЗ с электрическим возбуждением модель 1, в которой отсутствуют экраны. Кривые, полученные по всем компонентам, хорошо отражают весь разрез осадочного чехла и в широком диапазоне частот совпадают с кривыми МТЗ. В этом случае использование импеданса, как показано ниже, устраняет неопределенность в выборе точки записи и уменьшает влияние неоднородностей вблизи питающего диполя. При наличии в осадочном чехле высокоомного экрана (модель 3) импедансные кривые ЧЗ, полученные с электрическим возбуждением, зависят от разноса и азимутального угла. Очевидно, в этом случае вопрос о точке записи остается открытым. Выход видится либо в использовании магнитовариационного

импеданса $Z = -i\omega\mu_0 H_z / \left(\frac{\partial H_x}{\partial x} + \frac{\partial H_y}{\partial y} \right)$, либо в переходе к индукционному возбуждению (рис. 2, Г).

Анализ горизонтально-неоднородных моделей. Для изучения влияния приповерхностных неоднородностей на кривые ЧЗ, полученные при электрическом возбуждении, авторами проведено математическое моделирование с применением программы пленочного моделирования Э.Б. Файнберга и Б.Ш. Зингера [3].

Рассмотрим результаты моделирования для двух важных моделей. Первая представляет собой горизонтально-слоистую среду (одномерная модель 3) с низкоомной неоднородностью в верхнем слое. Питающий диполь AB располагался на неоднородности, ближе к ее краю. На рис. 3, A в плане показана схема модели. Здесь же приведены некоторые результаты моделирования в виде кривых ЧЗ для точки, расположенной в 10 км от AB. Видно, что импедансная кривая наилучшим образом характеризует разрез в точке наблюдения, а кривые, построенные по компонентам, смешены по уровню.

Вторая модель — двухслойный разрез с постепенно выклинивающимся первым слоем, что достигается плавным уменьшением продольной проводимости пленки S. Линия профиля расположена по направлению градиента S, причем питающий диполь находится в области больших значений S, а с ростом

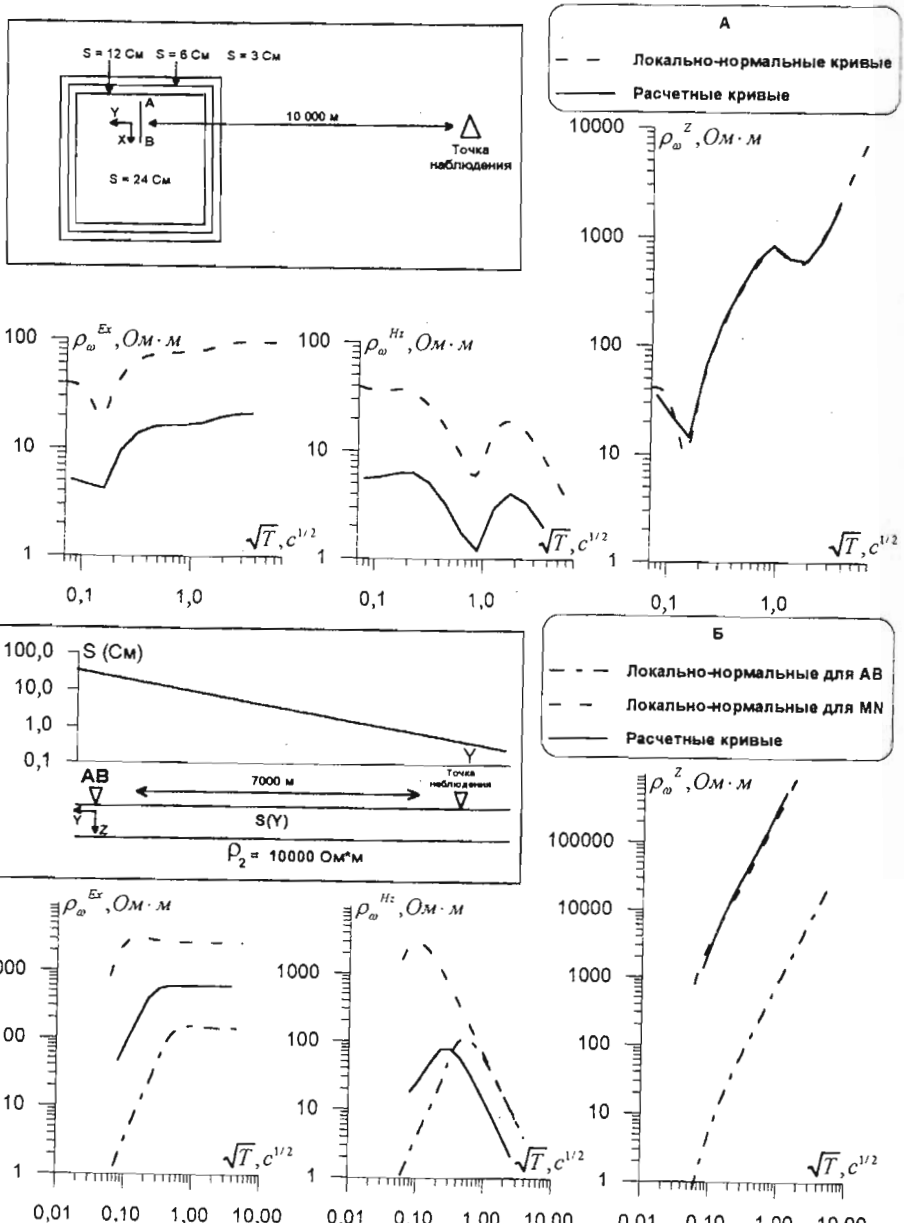


Рис. 3. Схемы модели, результаты моделирования: А — локальной неоднородности под источником (источник АВ, разнос 10000 м), Б — региональной аномалии (источник АВ, разнос 7000 м)

разноса точка наблюдения попадает в область всех меньших значений S . Схема модели (в разрезе) показана на рис. 3, Б. Здесь же представлены результаты расчетов для этой модели. Видно, что расчетные кривые $\rho_{\omega}(E_x)$ и $\rho_{\omega}(H_z)$ не совпадают ни с локально-нормальными кривыми для точки, в которой размещался диполь AB , ни с локально-нормальными кривыми для точки наблюдения. Напротив, расчетная импедансная кривая совпадает с локально-нормальной кривой для точки наблюдения. Это доказывает, что точка записи при импедансных измерениях относится к точке наблюдения.

Обобщая результаты расчета для ряда трехмерных моделей, отметим следующее: 1. Кривые ЧЗ искажаются лишь теми локальными неоднородностями, которые находятся вблизи питающего или приемного диполя; 2. Кривые $\rho_\omega(E_x)$ и $\rho_\omega(H_y)$ и в случае локальной неоднородности в точке наблюдения смещаются по уровню, слабо искажаясь по форме. Например, над проводящей неоднородностью кривые $\rho_\omega(E_x)$ смещаются вниз, а кривые $\rho_\omega(H_y)$ вверх. Кривые $\rho_\omega(H_z)$ искажены наиболее сложно, не столько по уровню, сколько по форме; 3. Если питающий диполь находится в центре локальной неоднородности, превышающей его размеры, кривые $\rho_\omega(E_x)$, $\rho_\omega(H_y)$ и $\rho_\omega(H_z)$ просто смещаются по уровню; 4. Характер и степень искажения кривых приповерхностными неоднородностями зависят от наличия в чехле высокоомного экрана; 5. Кривые, полученные по импедансу, наилучшим образом отражают разрез в точке наблюдения и слабо зависят от неоднородностей вблизи питающего диполя.

Заключение

При отсутствии в осадочном чехле высокоомных экранов целесообразно применение импедансных ЧЗ с электрическим возбуждением. При наличии

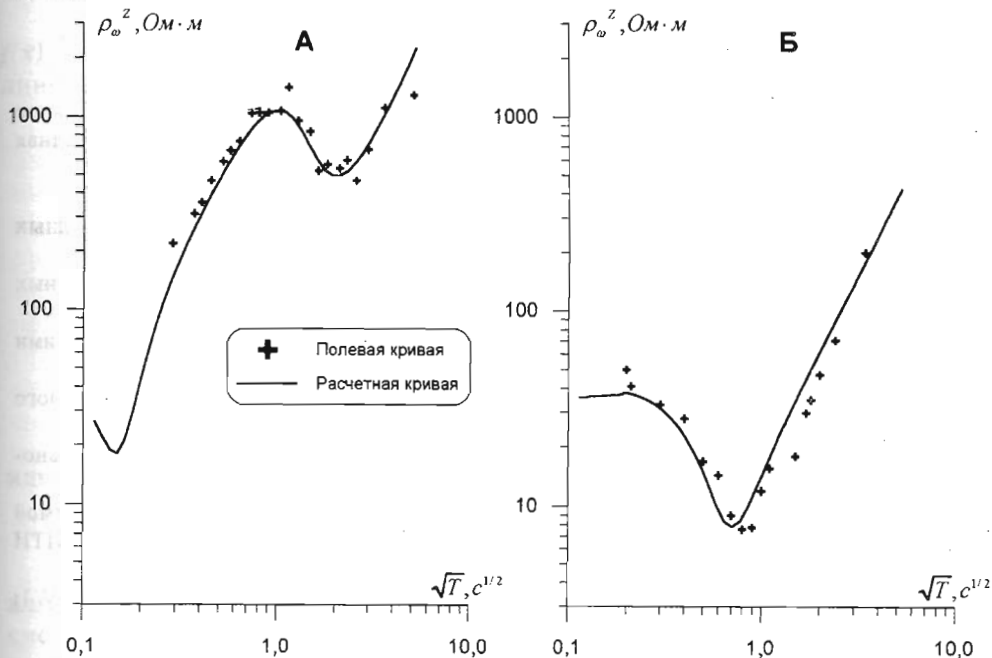


Рис. 4. Результаты импедансных измерений: А — источник АВ, разнос 18000 м. Б — источник Q, разнос 4635 м

в чехле платформы хотя бы одного экрана импедансные ЧЗ эффективнее проводить с индукционным возбуждением. В обоих случаях результат измерения в основном зависит от разреза в точке наблюдения, следовательно, к ней можно привязывать точку записи. Для выполнения полевых работ, обработки и интерпретации импедансных ЧЗ имеются аппаратура и программное обеспечение. На рис. 4 приведены примеры полевых и расчетных импедансных кривых для юго-западной части

Московской синеклизы. Анализ и интерпретацию данных импедансного ЧЗ в рамках горизонтально-неоднородных моделей можно проводить по технологиям, разработанным в методе МТЗ.

При региональных исследованиях возможно выполнять частотные зондирования по отдельным компонентам поля. При наличии неоднородного верхнего слоя надежнее использовать встречные или двусторонние установки с последующим осреднением результатов. Для изучения больших глубин компонента H_y предпочтительнее компоненты H_z . Совместная интерпретация кривых для горизонтальной электрической и одной из магнитных компонент позволяет полнее изучать разрез (в частности, получать значения коэффициентов макроанизотропии слоев).

Метод ЧЗ целесообразно применять в комплексе с другими методами. В частности, авторы использовали ЧЗ вместе с методами ЗСБ и МТЗ, что позволило получить непрерывный разрез от нескольких десятков метров до нескольких километров. Область применения ЧЗ не ограничивается структурными задачами. Перспективно направление, связанное с импедансными малоглубинными исследованиями. Например, за рубежом для инженерно-геологических изысканий успешно применяется аналогичная методика — CSAMT (аудио-МТЗ с контролируемым источником) [9].

ЛИТЕРАТУРА

1. Бердичевский М. Н., Кузнецов А. Н., Завадская Т. Н. Дипольное электромагнитное зондирование горизонтально-неоднородных сред // Прикладная геофизика. 1972. В. 68.
2. Ваньян Л. Л. Электромагнитные зондирования. М.: Научный мир, 1997.
3. Зингер Б. Ш., Файнберг Э. Б. Электромагнитная индукция в неоднородных тонких слоях. М.: ИЗМИРАН, 1985.
4. Иванов А. П., Скугаревская О. А. Методика частотных электромагнитных зондирований. М.: Наука, 1978.
5. Изучение геологического строения Восточно-Европейской платформы геофизическими методами / Под ред. Н. В. Неволина и др. М.: Недра, 1971.
6. Кузнецов А. Н., Обухов Г. Г. Свойства горизонтальной компоненты магнитного поля при частотных зондированиях // Прикладная геофизика. 1970. В. 60.
7. Обухов Г. Г. Определение точки записи в методах ЧЗ и ЗС в горизонтально-неоднородной среде // Прикладная геофизика. 1970. В. 61.
8. Пушкарев П. Ю., Яковлев А. Г., Яковлев А. Д. Программа решения прямой и обратной одномерной задачи метода частотных зондирований // Деп. в ВИНИТИ 22.01.99. №199-599.
9. Investigations in Geophysics. No. 3. Electromagnetic Methods in Applied Geophysics. V. I: Theory, edited by M.N. Nabighian. 1988.

Московский государственный университет
П.Ю. Пушкарев. А.Д. Яковлев — аспиранты